

# 人造衛星的軌道探討

何耀坤 編譯

臺南市私立光華女中

最近天體的物理觀測和研究很進步，其前提是認知天體位置和運動。天體位置和軌道的決定是很無味的作業，但是若沒有這工作對天體的真正研究無法進展，也不可能有人造衛星的發射。最近由於彗星的接近地球，這方面的研究變成活潑。一般人對行星或人造衛星的軌道之關心提高，在軌道計算方面使用電腦也漸漸普及於一般愛好天文的業餘觀測者。人造衛星的軌道問題包括軌道要素，軌道半徑和公轉周期，衛星實際經過路線及軌道的大氣影響等，這些和人造衛星的未來位置預測有密切關係。

## 一、人造衛星的軌道要素

人造衛星的軌道要素和太陽系內的天體不同，以赤道面為基準而表示。如圖 1 中 O 為地球中心，P 為北極，Q 為南極，PQ 為地軸，OA 為春分點方向。為表示從 O 發出的任意直線方向，從 OA 至該直線和自轉方向的角度稱赤經。 $CFE$  為人造衛星軌道， $C$  為昇交點。 $\angle AOC$  為昇交點的赤經以  $\Omega$  表示， $i$  為軌道傾斜角或赤道夾角。圖 1 中 B 為近地點， $\angle COB$  為近地點引數，以  $\omega$  表示。人造衛星軌道形狀和位置決定後，為了表示衛星在軌道上的位置而設定一定時間稱元期。

人造衛星的軌道要素如下六項，以如下數值表示。

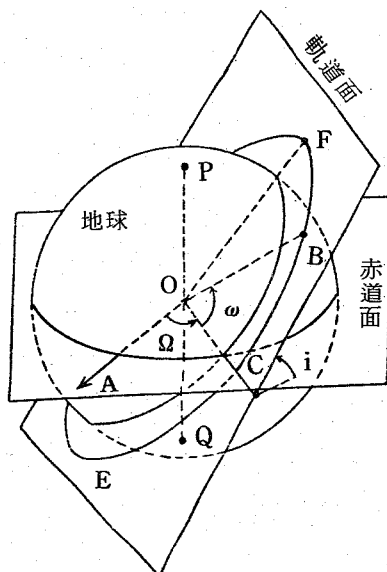


圖 1

元期： $t_0$ 緯度引數： $u = u_0 + \dot{u}(t - t_0) + \ddot{u}(t - t_0)^2$ 昇交點赤經： $\Omega = \Omega_0 + \dot{\Omega}(t - t_0)$ 近地點引數： $\omega = \omega_0 + \dot{\omega}(t - t_0)$ 傾斜角： $i$ 軌道半長徑： $a$ 

上式中  $u_0$ ,  $\Omega_0$ , 及  $\omega_0$  是元期  $t_0$  的數值,  $\dot{u}$ ,  $\dot{\Omega}$  及  $\dot{\omega}$  是一天的變化量,  $t - t_0$  是從元期的日數。有時用近地點高度  $q$  和遠地點高度  $Q$  代替軌道半長徑, 那麼

$$a = 6378 + \frac{1}{2}(q + Q) \quad (a, q, Q \text{ 之單位為公里}) \dots\dots\dots(2)$$

設離心率為  $e$ , 那麼

$$e = \frac{Q - q}{Q + q + 12756} \dots\dots\dots(3)$$

(證明) 設地球的赤道半徑為  $R$ ,

$$q = a(1 - e) - R, \quad Q = a(1 + e) - R$$

$$\therefore a(1 - e) = q + R, \quad a(1 + e) = Q + R$$

$$\therefore \frac{1 - e}{1 + e} = \frac{q + R}{Q + R}$$

$$(Q + R)(1 - e) = (q + R)(1 + e)$$

$$Q + R - q - R = e(q + R + Q + R)$$

$$\therefore e = \frac{Q - q}{Q + q + 2R} \quad (R = 6378 \text{ 公里})$$

## 二、計算人造衛星的軌道半徑和公轉周期

設太陽和行星的質量各為  $m_1$  和  $m_2$ , 太陽和行星間的引力所產生的行星之加速度為  $a_n$ , 萬有引力常數為  $k^2$ , 軌道半徑為  $r$ , 公轉周期為  $P$ , 那麼

$$a_n = k^2 \frac{m_1}{r^2}, \quad a_n = \frac{V^2}{r} = \frac{4\pi^2 r^2}{P^2} \cdot \frac{1}{r} = \frac{4\pi^2 r}{P^2}$$

上式中  $V$  為軌道速度， $V = \frac{2\pi r^{\circ}}{P}$

上式右邊都是常數，表示  $r^3$  和  $P^2$  成正比，這就是 Kepler 的行星運動之第三法則。在(4)式中假設  $m_1$  為地球的質量，半徑  $r$  以圓軌道繞地球周圍的人造衛星之周期為  $P$  時，

$$\frac{r^3}{P^2} = \frac{3.986 \times 10^{20}}{4\pi^2} = 0.1010 \times 10^{20} \text{ (cm}^3 \text{ s}^{-2}\text{)}$$

上式中  $r$  之單位爲 Km 時， $P = 0.00995 r^{3/2}$  ( $r$  : Km,  $p$  : s)。

因為接近地球表面繞的人造衛星， $r = 6378\text{ Km}$ ，所以

$$P = 5068 \text{ 秒} = 84.47 \text{ 分}$$

如果以地球赤道半徑爲單位所表示的  $a$ ，寫做  $a$  時，

那麼平均每天運動  $n$  如下式，

$$\frac{86400 \text{ 秒}}{\text{P秒}} = \frac{6137^\circ \cdot 2}{a\sqrt{a}} \quad \dots \dots \dots (6)$$

地球的形狀非正圓的球，其長半徑比極半徑大些。因此人造衛星的運動會受地球的膨大部分之攝動。其他有大氣的阻力和太陽輻射壓之影響，其軌道會有複雜的變化。所以用(1)式將人造衛星的運動很正確地求算，是不可能的。如果在短時間的衛星運動，可用(1)式的軌道要素預測大略上的衛星位置。假設不考慮大氣的阻力和太陽輻射影響，只考慮地球的攝動時，如下列，這是相等於(1)式的第二項。

人造衛星的離心率是很小，可視為  $e = 0$ ，那麼一日份的攝動量可用下式(9)求算。

因為緯度引數是  $u = v + \omega$ ，離心率為 0，那麼  $u$  的一日之變化量是，

$\ddot{u}$  包含有  $a$  的變化和其他影響，可從觀測以實驗決定。

### 三、人造衛星經路和位置的計算法

爲了簡化，假設人造衛星軌道爲圓形。因爲人造衛星的運動速度快，對明亮的衛星預測仍有實用價值，所以可省略近地點引數。將人造衛星和地球中心點連結，其直線和地表交點稱直下點，其經緯度爲  $\lambda$  和  $\varphi'$  ( $\varphi'$  是地心緯度)，那麼可成立如圖 2 之關係。圖中西經取正數， $\lambda$  和  $\varphi'$  之地點在春分點之東側，用負數表示。那麼於昇交點，直下點和赤道所形成的直角球面三角形，可成立下式關係。

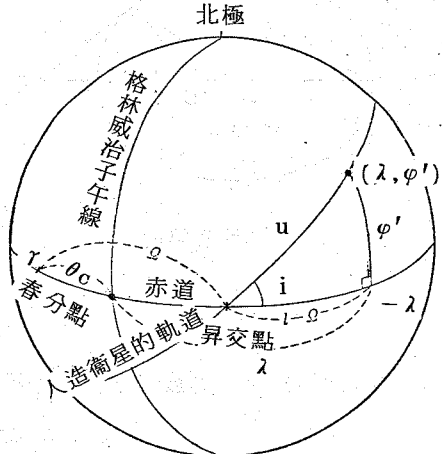


圖2 人造衛星的軌道

若知  $u$ ，由(10)式可求算  $l - \Omega$  和  $\varphi'$ ，由  $l = (l - \Omega) + \Omega$  可得直下點的  $l$ （地方恒星時間）。設這時刻的格林威治恒星時間為  $\theta_G$  時， $\lambda = \theta_G - l$ （西經：正數）。

以上式可求算直下點的經度， $u$ 用(1)式能計算。對  $t$  和  $t_0$ ，若知直下點的經緯度  $(\lambda, \varphi')$  就能將人造衛星的經路畫在地圖上，但是要將  $\varphi'$  換算爲地理緯度  $\varphi$ ，若在大略上的預測時可省略之。

下面記述求人造衛星的赤經，赤緯，高度及方位角的方法。設人造衛星的軌道半長徑爲  $a$ ，直下點的經緯度爲  $\lambda, \varphi'$ ，同時刻的格林威治恒星時間爲  $\theta_0$  時，直下點的

恒星時間是  $t = \theta = \theta_0 - \lambda$ 。

如圖 3，沿地球子午線和赤道垂直的切口是橢圓形，C 為觀測點，Z 為天頂，O 為地心。地理緯度是  $\angle EDC = \varphi$ ，O 和 C 的連線和赤道面所成的角  $\angle EOC$  為地心緯度 ( $\varphi'$ )，而  $\varphi'$  常比  $\varphi$  小。OC 為地心半徑 ( $\rho$ )，以地球的赤道半徑 (= 6378.160 公里) 為單位表示。C 的經度為  $\lambda$ ，C 的地心赤道直交座標如圖 4。那麼

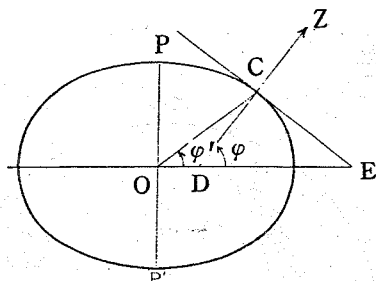


圖 3 地心緯度

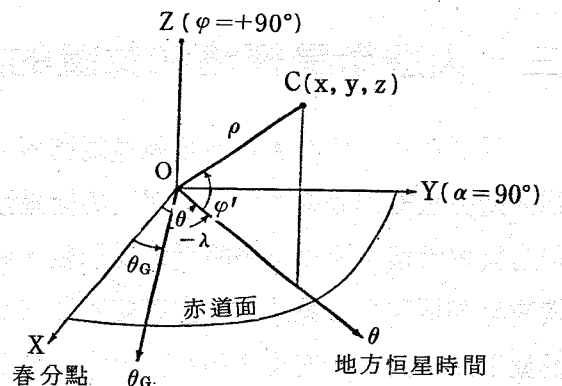


圖 4 地心直交座標

按照上式方法，那麼人造衛星的地心直交座標如下式。

觀測地點的經緯度爲  $\lambda_0$ ,  $\varphi_0$ , 那麼觀測地的地心座標如下式。

因為 xyz 座標系是赤道直交座標，xy 面是赤道面，x 軸向春分點方向，z 軸向北極方向。所以從觀測地看人造衛星的赤經為  $\alpha$ ，赤緯為  $\delta$ ，那麼由圖 5 可得下式。

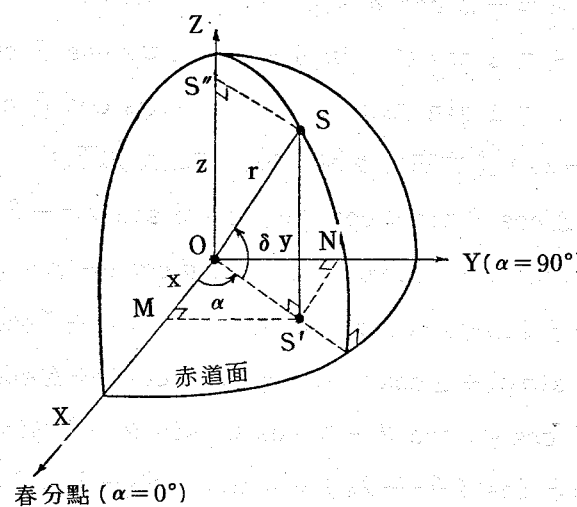
天的北極 ( $\delta = +90^\circ$ )

圖 5 赤道直交座標

上式中  $\Delta$  是和人造衛星之距離，單位是地球的赤道半徑，若將之換算為 km 單位，如下式。

$$\Delta (\text{ km }) = 6378 \Delta$$

人造衛星的高度和方位角的換算法如下，在此先簡述有關球面三角形的重要公式，由圖 6，可得下式。

$$\left. \begin{aligned} \sin a \sin B &= \sin b \sin A \\ \sin a \cos B &= \cos b \sin c - \sin b \cos c \cos A \\ \cos a &= \cos b \cos c + \sin b \sin c \cos A \end{aligned} \right\} \quad \dots\dots\dots(15)$$

於球面三角形 P Z S (圖 7) 當為 ABC 時，由公式(15)可得下式。

$$\begin{aligned} \sin (90^\circ - h) \sin (360^\circ - A) &= \sin (90^\circ - \delta) \sin H \\ \sin (90^\circ - h) \cos (360^\circ - A) &= \\ &= \sin (90^\circ - \varphi) \cos (90^\circ - \delta) - \cos (90^\circ - \varphi) \sin (90^\circ - \delta) \cos H \\ &= \cos (90^\circ - \varphi) \cos (90^\circ - \delta) + \sin (90^\circ - \varphi) \sin (90^\circ - \delta) \cos H \\ \therefore \cos h \sin A &= -\cos \delta \sin H \\ \cos h \cos A &= \cos \varphi \sin \delta - \sin \varphi \cos \delta \cos H \\ \sin h &= \sin \varphi \sin \delta + \cos \varphi \cos \delta \cos H \end{aligned} \quad \left. \right\} \quad \dots\dots\dots(16)$$

將上式(16)兩邊乘  $\Delta$  (和人造衛星之距離)，那麼可得下式，下式中  $h$  為地平高度。

$$\left. \begin{aligned} \Delta \cos h \sin A &= -\Delta \cos \delta \sin (\theta - \alpha) \\ \Delta \cos h \cos A &= \Delta \cos \varphi_0 \sin \delta - \Delta \sin \varphi_0 \cos \delta \cos (\theta - \alpha) \\ \Delta \sin h &= \Delta \sin \varphi_0 \sin \delta + \Delta \cos \varphi_0 \cos \delta \cos (\theta - \alpha) \end{aligned} \right\} \quad \dots \dots \dots (17)$$

上式中  $\theta = \theta_0 - \lambda_0$ ，上式右邊展開，用(14)式改寫如下。

$$\Delta \cos h \sin A = -\Delta \cos \delta \sin \theta \cos \alpha + \Delta \cos \delta \sin \alpha = -\xi \sin \theta + \eta \cos \theta$$

$$\begin{aligned}\Delta \cos h \cos A &= \zeta \cos \varphi_0 - \Delta \sin \varphi_0 \cos \delta \cos \theta \cos \alpha - \Delta \sin \varphi_0 \cos \delta \sin \theta \sin \alpha \\ &= -\xi \sin \varphi_0 \cos \theta - \eta \sin \varphi_0 \sin \theta + \zeta \cos \varphi_0\end{aligned}$$

$$\begin{aligned}\Delta \sin h &= \zeta \sin \varphi_0 + \Delta \cos \varphi_0 \cos \delta \cos \theta \cos \alpha + \Delta \cos \varphi_0 \cos \delta \sin \theta \sin \alpha \\ &= \xi \cos \varphi_0 \cos \theta + \eta \cos \varphi_0 \sin \theta + \zeta \sin \varphi_0\end{aligned}$$

那麼

$$\left. \begin{array}{l} \Delta \cos h \cos A = -\bar{A} \sin \varphi_0 + \zeta \cos \varphi_0 \\ \Delta \cos h \sin A = +\bar{B} \\ \Delta \sin h = +\bar{A} \cos \varphi_0 + \zeta \sin \varphi_0 \end{array} \right\} \quad \dots \dots \dots \quad (19)$$

上式的  $A$  是以北爲  $0^\circ$ , 測北→東→南→西的方位角,  $h$  為地平高度。

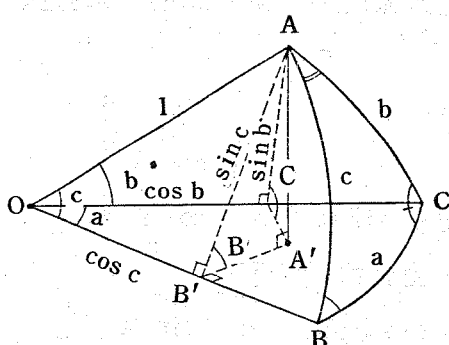


圖 6 球面三角形

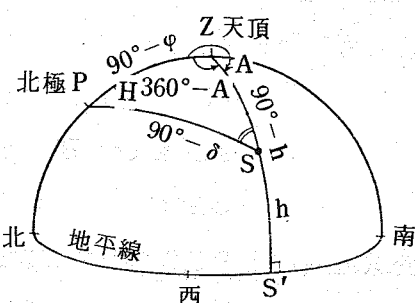


圖 7 地平座標

下列綜合有關人造衛星的軌道及位置預測的計算公式。

(1) 軌道要素(設  $e = 0$ )

元期:  $t_0$  (UT)

$$\text{緯度引數: } u = u_0 + \dot{u}(t - t_0) + \ddot{u}(t - t_0)^2$$

$$\text{昇交點赤經: } \Omega = \Omega_0 + \Omega(t - t_0)$$

赤道夾角： $i$  軌道半長徑： $a$ （若用地球赤道半徑為單位時寫  $a$ ）

在此  $(t - t_0)$  之單位為日， $u$  和  $\Omega$  之單位為  $(^\circ/\text{日})$ ， $\ddot{u}$  之單位為  $(^\circ/\text{日}^2)$ 。設近地點高度為  $q(\text{Km})$ ，遠地點高度為  $Q(\text{Km})$ ，那麼， $a = 6378 + 0.5(q+Q)(\text{Km})$

$$, a = \frac{a}{6378} \text{ } ^\circ$$

若不知  $q$ ， $Q$  或  $a$  時，

$$n_1 = \dot{u} - 10^\circ (2 - \frac{5}{2} \sin^2 i)$$

$$a_1 = (\frac{6137}{n_1})^{\frac{2}{3}}$$

用上式求  $a$  的第一近似值  $a_1$ ，

$$n = \dot{u} - \frac{9^\circ \cdot 97}{(a_1 \sqrt{a_1}) a_1^2} (2 - \frac{5}{2} \sin^2 i)$$

$$a = (\frac{6137.2}{n})^{\frac{2}{3}}$$

地上高度

$$H = 6378(a-1) \text{ (Km)}$$

周期

$$P = 84.47 a \sqrt{a} \text{ (分)}$$

(2) 預測時間為  $t$  (UT)，求格林威治恒星時間  $\theta_g$ 。

① 軌道要素是根據 1950.0 分點時，

$$\theta_g = 360^\circ \times (0.67052 + 1.0027378 D)$$

② 軌道要素是根據於  $t$  的春分點時，

$$\theta_g = 360^\circ \times (0.67126 + 1.0027379 D)$$

在此  $D = \text{MJD}$  (儒略日數 Julian day number) - 40000.0，上式的()內只取小數點以下。

(3) 求於  $t$  時的  $u$  和  $\Omega$ 。

(4) 直下點的經緯度  $(\lambda, \varphi')$

$$\left. \begin{aligned} \cos \varphi' \cos(l - \Omega) &= \cos u \\ \cos \varphi' \sin(l - \Omega) &= \sin u \cos i \\ \sin \varphi' &= \sin u \sin i \end{aligned} \right\}$$

$$\lambda = \theta_g - \{(l - \Omega) + \Omega\} \quad (\text{西經：正，東經：負})$$

$$\varphi = \varphi' + (\varphi - \varphi') \quad (\varphi - \varphi') \text{ 是根據表 1。}$$

表1 地心座標的係數

$\varphi$	C			S			$\varphi = \varphi'$			R (km)			$\varphi$	C			S			$\varphi = \varphi'$			R (km)
	C	S	$\varphi - \varphi'$	C	S	$\varphi - \varphi'$	C	S	$\varphi - \varphi'$	C	S	$\varphi - \varphi'$		C	S	$\varphi - \varphi'$	C	S	$\varphi - \varphi'$				
0°	1.000 000	25	0.993 305	26	0°.0=0°.00		6378.2	40°	1.001 386	58	0.994 682	58	11.4=0°.19	6363.4									
5	1.000 025	76	0.993 331	75	2.0=0.03		6378.0	41	1.001 444	58	0.994 740	57	11.4=0.19	6369.0									
10	1.000 101	124	0.993 406	122	3.9=0.07		6377.5	42	1.001 502	59	0.994 797	59	11.5=0.19	6368.6									
15	1.000 225	167	0.993 528	167	5.8=0.10		6376.7	43	1.001 561	58	0.994 856	58	11.5=0.19	6368.3									
20	1.000 392	206	0.993 685	205	7.4=0.12		6375.7	44	1.001 619	58	0.994 914	58	11.5=0.19	6367.9									
25	1.000 598	46	0.993 900	45	8.8=0.15		6374.4	45	1.001 678	59	0.994 972	58	11.5=0.19	6367.5									
26	1.000 644	47	0.993 945	46	9.1=0.15		6374.1	46	1.001 737	58	0.995 030	58	11.5=0.19	6367.1									
27	1.000 691	48	0.993 981	48	9.3=0.15		6373.8	47	1.001 795	59	0.995 089	59	11.5=0.19	6366.8									
28	1.000 739	49	0.994 039	49	9.6=0.16		6373.5	48	1.001 854	58	0.995 147	58	11.5=0.19	6366.4									
29	1.000 786	50	0.994 088	50	9.8=0.16		6373.2	49	1.001 912	58	0.995 205	58	11.4=0.19	6366.0									
30	1.000 838	51	0.994 138	51	10.0=0.17		6372.8	50	1.001 970	58	0.995 262	58	11.4=0.19	6365.7									
31	1.000 889	52	0.994 189	51	10.2=0.17		6372.5	55	1.002 234	284	0.995 544	282	10.9=0.18	6363.9									
32	1.000 941	53	0.994 240	53	10.4=0.17		6372.2	60	1.002 520	266	0.995 809	265	10.0=0.17	6362.2									
33	1.000 994	54	0.994 293	54	10.5=0.18		6371.9	65	1.002 761	241	0.996 048	241	8.9=0.15	6360.6									
34	1.001 048	55	0.994 347	54	10.7=0.18		6371.5	70	1.002 969	206	0.996 254	206	7.4=0.12	6358.3									
35	1.001 103	55	0.994 401	55	10.8=0.18		6371.2	75	1.003 138	169		168											
36	1.001 158	56	0.994 456	56	11.0=0.18		6370.8	80	1.003 262	124	0.996 422	124	5.8=0.10	6358.2									
37	1.001 215	56	0.994 512	56	11.1=0.18		6370.5	85	1.003 338	76	0.996 546	76	4.0=0.07	6357.4									
38	1.001 271	57	0.994 568	57	11.2=0.19		6370.1	90	1.003 364	26	0.996 622	25	2.0=0.03	6356.9									
39	1.001 328	58	0.994 625	57	11.3=0.19		6369.7	57			0.996 647	57	0.0=0.00	6356.8									

(5) 從地點  $\lambda_0$  和  $\varphi_0$  所看的赤經和赤緯

$$\left. \begin{aligned} X &= C \cos \varphi_0 \cos (\theta_G - \lambda_0), & x &= a \cos \varphi' \cos l \\ Y &= C \cos \varphi_0 \sin (\theta_G - \lambda_0), & y &= a \cos \varphi' \sin l \\ Z &= S \sin \varphi_0, & z &= a \sin \varphi' \end{aligned} \right\}$$

上式中  $l = (l - \Omega) + \Omega = \theta_0 - \lambda$

$$\xi = \Delta \cos \delta \cos \alpha = x - X$$

$$\eta = \Delta \cos \delta \sin \alpha = y - Y$$

$$\zeta = \Delta \sin \delta = z - Z$$

$$\Delta (\text{Km}) = 6378 \Delta$$

(6) 從  $\lambda_0$ ,  $\varphi_0$  之地點所看的方位角 A 和高度 h

$$\bar{A} = \xi \cos (\theta_G - \lambda_0) + \eta \sin (\theta_G - \lambda_0)$$

$$\bar{B} = -\xi \sin(\theta_0 - \lambda_0) + \eta \cos(\theta_0 - \lambda_0)$$

那麼

$$\Delta \cos h \cos A = -\bar{A} \sin \varphi_0 +$$

$$\Delta \cos h \sin A = \overline{B}$$

$$\Delta \sin h = \bar{A} \cos \varphi_0 + \zeta \sin \varphi_0$$

#### 四、求算人造衛星的實際經路

設時間  $t_1$  和  $t_2$  的人造衛星之直下點的經緯度為  $\lambda_1, \varphi_1$  和  $\lambda_2, \varphi_2$ ；格林威治恒星時間為  $\theta_{G1}, \theta_{G2}$ ，那麼人造衛星經路  $l$  如下：

(時間  $t_1$ ) (時間  $t_2$ )

$$l_1 = \theta_{G1} - \lambda_1 \quad , \quad l_2 = \theta_{G2} - \lambda_2$$

$$\left. \begin{aligned} l_1 &= \theta_{G_1} - \lambda_1 \quad , \quad l_2 = \theta_{G_2} - \lambda_2 \\ \varphi'_1 &= \varphi_1 - (\varphi - \varphi')_1 \quad , \quad \varphi'_2 = \varphi_2 - (\varphi - \varphi')_2 \end{aligned} \right\} \dots \dots \dots \quad (20)$$

上式中  $(\varphi - \varphi')$  從表 1 求出。

昇交點赤經  $\Omega$  和軌道傾斜角（赤道夾角） $i$  可從下式求。

$$\left. \begin{aligned} \tan i \sin (l_1 - \Omega) &= \tan \varphi_1' \\ \tan i \cos (l_1 - \Omega) &= \frac{\tan \varphi_2' - \tan \varphi_1' \cos (l_2 - l_1)}{\sin (l_2 - l_1)} \end{aligned} \right\} \dots\dots\dots(21)$$

緯度引數 ( $u$ ) 用下式求算。

$$\begin{aligned}\cos u_1 &= \cos \varphi_1' \cos (l_1 - \Omega), \quad \cos u_2 = \cos \varphi_2' \cos (l_2 - \Omega) \\ \sin u_1 &= \sin \varphi_1' / \sin i, \quad \sin u_2 = \sin \varphi_2' / \sin i\end{aligned}\} \dots (22)$$

從上式(22)所得的  $u$  和  $\Omega$ ，再求(1)式，更求周期和軌道半長徑。

(計算例) 人造衛星之經路的直下點之經緯度得下列結果，用之試求軌道要素。

(解：)

	$i$	1	2
$\theta_{G1}$	305°.33		
$\theta_{G2}$	306.15	t 9時 10.0 分 UT	9時 13.3 分 UT
$l_1$	79.53	$\theta_a$ 20時 21.3 分	20時 24.6 分
$l_2$	88.25	$\lambda$ $-134^\circ.2$	$-142^\circ 1$
$(\varphi - \varphi')$ <sub>1</sub>	$0^\circ.2$	$\varphi$ $+38.7$	$+32.4$
$(\varphi - \varphi')$ <sub>2</sub>	$0.2$		

	$i$	1	2
$\varphi_1'$	$+38^\circ.5$	$l - \Omega$ $142^\circ.38$	$151^\circ.10$
$\varphi_2'$	$+32.2$	$\cos(l - \Omega)$ $-0.7921$	$-0.8755$
$l_2 - l_1$	$+8.72$	$\cos \varphi'$ $+0.7826$	$+0.8464$
$\cos(l_2 - l_1)$	$+0.9884$	$\sin \varphi'$ $+0.6225$	$+0.5329$
$\sin(l_2 - l_1)$	$+0.1516$	$\cos u$ $-0.6199$	$-0.7408$
$\tan \varphi_1'$	$+0.7954$	$\sin u$ $+0.7847$	$+0.6718$
$\tan \varphi_2'$	$+0.6297$	$\tan u$ $-1.2659$	$-0.9068$ (II)
$\tan \varphi_2' - \tan \varphi_1' \cos(l_2 - l_1)$	$-0.1564$	$u$ $128^\circ.31$	$137^\circ.80$
$\tan i \cos(l_1 - \Omega)$	$-1.0319$	$\tan(l_1 - \Omega)$ $-0.7708$ (II)	
$l_1 - \Omega$		$l - \Omega$ $142^\circ.38$	
$\cos(l_1 - \Omega)$		$\cos(l - \Omega)$ $-0.7920$	
$\tan i$		$\tan i$ $+1.3029$	
$i$		$u$ $133^\circ.1$	
$\Omega$		$\Omega$ $297.2$	
$\sin i$		$i$ $52.5$	

## 五、大氣對人造衛星軌道的影響

人造衛星和一般天體之不同，是有大氣的阻力，所以其周期常變化。雖然離地面

1000 公里的高空，空氣很稀薄，但仍有大氣存在，而且人造衛星以  $7 \sim 8 \text{ km/sec}$  之快速運動，其阻力抵抗又大。按照實驗已知，一般對在流體內運動的物體受流體之阻力，物體速度小時和速度成正比，但速度非常快時和速度的平方成正比。設人造衛星運行的大氣密度為  $\rho$ ，速度為  $v$ ，和運動方向垂直的人造衛星的斷面積為  $\sigma$ ，阻力和  $\rho$  及  $\sigma$  成正比，所以阻力 =  $K\sigma\rho v^2$ ，此式中  $K$  是人造衛星的形狀和表面性質的比例常數。所以人造衛星受大氣阻力時，其速度就減少。因此人造衛星的軌道半長徑  $a$  受大氣的阻力，漸漸減少。

a 受大氣阻力減少  $|\delta a|$  時的離心率 e 的變化，於圖 8 E 為地球中心，E' 為他焦點，A 為近地點，B 為遠地點，CD 為短徑。

(1) 人造衛星(P)在近地點A時

設地球中心 E 固定， $a$  以  $|\delta a|$  減少時，  
 $2a = EB + BE'$  以  $2|\delta a|$  減少，同時  $EE'$

也以  $2|\delta a|$  減少。因為  $a = \frac{EE'}{2a}$

$$\therefore e + \delta e = \frac{EE' - 2|\delta a|}{2a - 2|\delta a|} \dots \dots \dots \quad (23)$$

因  $EE' < 2a$ ，從分母和分子同減  $2|\delta a|$ ，因為  $\delta e < 0$  即是 P 在 A 時，e 會減少。

(2) P 在遠地點 B 時

對  $a$  之減少  $|\delta a|$ ， $2a$  也減少  $2|\delta a|$ 。這是因為  $E'$  向左方移動  $2|\delta a|$  而引起，所以  $EE'$  却增加  $2|\delta a|$ ，

所以在遠地點時  $e$  會增大。

(3) P在C(或D)時,

$2a = EC + CE'$  以  $2|\delta a|$  減少， $E'$  移  $E''$ 。設  $\angle CEE' = \angle CE'E = \theta$ ，由 e 的

## 定義，

$$\cos \theta = \frac{OE}{CE} = \epsilon$$

若將  $E E'$  之減少爲  $\delta E$ ，那麼  $\delta E = 2 |\delta a| \cos \theta = 2 |\delta a| e$

$$\therefore e + \delta e = \frac{EE' - \delta E}{2a - 2|\delta a|} = \frac{2ae - 2e|\delta a|}{2a - 2|\delta a|} = e \quad \dots\dots\dots(25)$$

即是 P 在 C 或 D 時，雖然由於 a 的減少，但是 e 不變化。

近地點離地球表面最低，遠地點最高，所以大氣密度  $\rho$  在近地點最大，遠地點最小。不但如此，人造衛星的速度 v 在近地點最快，在遠地點最慢。因此大氣的阻力在近地點最强，在遠地點最弱，所以(23)式的減少  $|\delta e|$  比(24)之增加  $|\delta e|$  更大。在 C 和 D 時  $\delta e = 0$ ，所以無影響。

這些關係更詳細可說明如下。若在近地點 (A) 和遠地點 B，取相等的微小道程  $\delta s$ ，其通過所需時間各為  $\delta t_A$  和  $\delta t_B$ ，速度以  $v_A$  和  $v_B$  表示，那麼

$$v_A = \frac{\delta s}{\delta t_A}, \quad v_B = \frac{\delta s}{\delta t_B}$$

由於開普勒 (Kepler)第二法則（面積速度一定），

$$a(1-e)v_A = a(1+e)v_B; \quad \therefore \frac{v_A}{v_B} = \frac{1+e}{1-e} \quad \dots\dots\dots(26)$$

在 A 和 B，以同長道程  $\delta s$  運行時所受的大氣阻力各為  $R_A$  和  $R_B$ ，那麼

$$R_A = K\sigma\rho A v_A^2 \delta t_A = K\sigma\rho A v_A \delta s$$

$$R_B = K\sigma\rho B v_B^2 \delta t_B = K\sigma\rho B v_B \delta s$$

參照(26)式

$$\frac{R_A}{R_B} = \frac{\rho A v_A}{\rho B v_B} = \frac{\rho A}{\rho B} \left( \frac{1+e}{1-e} \right) \quad \dots\dots\dots(27)$$

這類似的關係式在 DAC 間和 CBD 間也可成立。根據以上考察可知，e 在遠地點會增大，但是(27)式中  $\rho A > \rho B$ ， $\frac{1+e}{1-e} > 1$ ，那麼在一公轉之間，含近地點的 DAC 的

e 之減少比其他一半 CBD 的 e 之增加更凌駕，結果離心率受大氣的阻力而漸漸減小，軌道漸漸近於圓形。

### 【主要參考書】

- |                            |                                |
|----------------------------|--------------------------------|
| 天體軌道論， <u>長谷川一郎</u> （恒星社）  | マイコンが解く天體之謎， <u>中野主一</u> （新光社） |
| 天文計算入門， <u>長谷川一郎</u> （恒星社） | 天體の位置計算， <u>長澤工</u> （地人書館）     |
| 球面天文學提要， <u>荒木俊馬</u> （恒星社） | 天文の計算教室， <u>齊田博</u> （地人書館）     |